

05; 07

© 1991 г.

## СТАЦИОНАРНЫЙ ЭНЕРГООБМЕН СПЕКЛ-ПУЧКОВ В ФОТОРЕФРАКТИВНЫХ КРИСТАЛЛАХ

*Ю. С. Кузьминов, А. В. Мамаев, В. В. Шкунов, Т. В. Яковлева*

Теоретически и экспериментально исследован процесс стационарного энергообмена при двухволновом взаимодействии с участием спекл-волн в фоторефрактивных кристаллах с диффузионным механизмом нелинейности. Показано, что наличие спекл-структурь во взаимодействующих пучках может приводить к заметному уменьшению эффективности взаимодействия.

Как известно, внесение спекл-структурь в лазерный пучок может заметно изменить характер его нелинейно-оптических взаимодействий [1, 2]. Вопрос о влиянии спекл-структурь особенно актуален для нелинейной оптики фоторефрактивных кристаллов (ФРК), где реальные эксперименты в большинстве своем выполняются со спекл-пучками, а интерпретируются до сих пор в моделях плоских волн [3, 4]. В недавней работе [5] показано, что форма углового спектра спекл-пучка влияет на направление энергообмена при нестационарной самодифракции в ФРК с дрейфовым или фотогальваническим откликом. В настоящей работе теоретически и экспериментально исследуется влияние спекл-структурь на эффективность энергообмена при стационарной самодифракции попутных волн на диффузионных решетках в ФРК.

Рассмотрим для определенности типичную геометрию, используемую для усиления несущего изображение спекл-пучка в кристаллах SBN или  $\text{LiNbO}_3$ : оптическая ось  $z$  кристалла находится в плоскости входной и выходной граней, вектор голограммической решетки  $q$  ориентирован вдоль оптической оси, оба пучка линейно поляризованы в общей плоскости падения. В такой геометрии профиль голограммической решетки  $\delta n(\mathbf{R})$  определяется лишь  $z$ -компонентой электрического поля  $\mathcal{E}(\mathbf{R}) = (kT/e) \nabla I / (I_0 + I)$ , компенсирующего диффузионные токи свободных носителей заряда [3, 4, 6],

$$\delta n(\mathbf{R}) = \frac{n^3}{2} r_{33} \frac{kT}{e} \frac{I_1}{I_0 + I(\mathbf{R})} \frac{\partial I}{\partial z}, \quad (1)$$

где  $r_{33}$  — электрооптический коэффициент;  $n$  — показатель преломления;  $e$  — заряд электрона;  $kT$  — температура кристалла в энергетических единицах;  $I(\mathbf{R}) = |E_1|^2 + E_1 E_2^* \exp(i\mathbf{q}\mathbf{R}) + E_1^* E_2 \exp(-i\mathbf{q}\mathbf{R}) + |E_2|^2$  — распределение интенсивности светового поля интерферирующих пучков  $E_1 \exp(i\mathbf{K}_1\mathbf{R})$  и  $E_2 \exp(i\mathbf{K}_2\mathbf{R})$ ;  $I_0$  — интенсивность внешней подсветки или эффективная интенсивность, отвечающая темповой проводимости.

Внесение спекл-структурь во взаимодействующие пучки приводит к возникновению пространственной амплитудно-фазовой модуляции интерференционного члена  $E_1(\mathbf{R}) E_2^*(\mathbf{R}) \exp(i\mathbf{q}\mathbf{R}) + \text{к. с.}$ , а значит, и контраста интерференционной картины, причем контраст самой модуляции порядка единицы, размах вариаций фазы порядка  $\pi$  в обе стороны, а пространственные масштабы отвечают масштабам спекл- пятен записывающих волн. Благодаря нелинейному характеру связи (1) амплитуды первых гармоник решетки  $\delta n_{\pm}(\mathbf{R})$  с контрастом интерференционной картины  $m(\mathbf{R}) = 2 |E_1 E_2| / (I_1 + I_2)$  интерференционный член

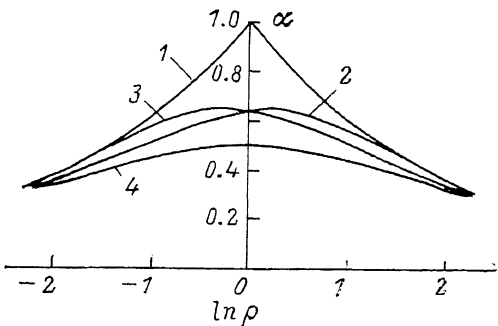
передается решеткой с искажениями. В результате при перерассеянии волны на решетке возбуждаются кроссмодуляционные шумы и, что более важно, эффективность взаимодействия падает, поскольку лишь часть поляризации среды  $\delta P_{1,2} \sim \delta n_{\pm} E_{2,1}$  переизлучается в волны со структурой записывающего излучения [7]. В интересующем нас трехмерном режиме записи динамической голограммы  $L \gg \lambda/\Delta\theta^2$ , где  $L$  — толщина кристалла,  $\Delta\theta$  — расходимость спекл-поля, кроссмодуляционным шумом можно пренебречь [7], основным эффектом спекл-структуры является уменьшение коэффициента связи взаимодействующих волн. Эффективная амплитуда кроссрешетки  $\delta n$  для спекл-полей определяется в теории спеклонов следующим соотношением [7]:

$$\overline{\delta n} = \frac{1}{\Delta} \int_0^\Delta \left\langle \delta n \frac{E_1^* E_2}{\sqrt{I_1 I_2}} \right\rangle e^{-i q z} dz, \quad (2)$$

где интегрирование ведется по периоду решетки для выделения амплитуды первой гармоники и в целях выделения в профиле этой первой гармоники структуры излучаемой волны  $E_1(R)$

проводится усреднение по поперечному сечению, которое в ситуации статистической однородности спекл-поля по поперечному сечению эквивалентно усреднению по ансамблю реализаций поля.

Рис. 1. Теоретические зависимости  $\alpha$  от  $\ln \rho$  для двух плоских волн (1), усиливаемой плоской и опорной спекл-волны (2), усиливаемой спекл- и опорной плоской волн (3) и двух спекл-волн (4).



Конкретные вычисления были проведены в рамках традиционной модели фотоотклика (1). Система двух уравнений связанных волн для медленных амплитуд сводится к одному уравнению для отношения средних интенсивностей пучков  $\rho = I_1/I_2$ .

$$\frac{d\rho}{dx} = \Gamma \alpha(\rho) \sqrt{\rho} (1 + \rho), \quad (3)$$

где  $\Gamma$  — коэффициент усиления слабой волны  $E_1$ ,  $x$  — координата по глубине области взаимодействия.

Коэффициент  $\alpha(\rho)$ , характеризующий зависимость эффективной амплитуды голограммической решетки, нормированной на ее значение для двух плоских волн при единичном контрасте  $m=1$ , определяется типом взаимодействующих пучков. Для двух гладких пучков (плосковолновая модель) имеем известное соотношение [6, 8, 9]  $\alpha = (1 - \sqrt{1 - m^2})/m$ , где  $m = 2\xi \sqrt{\rho}/(1 + \rho)$ ;  $\xi = (I_1 + I_2)/(I_0 + I_1 + I_2)$  характеризует относительный уровень темновой проводимости. Для усиления спекл-волны  $E_1(R)$  в поле плоской  $E_2$  вычисления по формуле (2) дают  $\alpha(\rho) = \sqrt{\rho} [1 - \exp(-\rho^{-1})]$  и соответственно для усиления плоской волны в поле спекл-волны  $\alpha(\rho) = [1 - \exp(-\rho)]/\sqrt{\rho}$ . Наконец, в случае взаимодействия двух спекл-пучков  $\alpha(\rho) = \sqrt{\rho}/(1 + \rho)$ . Амплитуды решетки для спекл-волн найдены в приближении малой темновой проводимости  $\xi = 1$ . Эти зависимости для всех видов взаимодействий представлены на рис. 1, который показывает, что внесение спекл-структуры способно в области  $I_1 \approx I_2$  вдвое снизить эффективную амплитуду решетки.

На рис. 2 приведены теоретические зависимости для отношения интенсивностей  $\rho(L)$  на выходной грани кристалла от отношения  $\rho(0)$  на входе при  $\Gamma L = 4$  и  $\xi = 1$ , полученные интегрированием уравнения (3) для различных видов функций  $\alpha(\rho)$ . Выходные отношения  $\rho(L)$  нормированы на величину  $\rho(0) \exp(\Gamma L)$ , которая дает эти значения в часто используемой приближенной

модели для плоских волн, пренебрегающей пространственной зависимостью  $I(\mathbf{R})$  в знаменателе правой части соотношения (1). Эти расчеты показывают, что для отклика вида (1) отличие в полном усилении для плоских и спекл-волн может достигать четырех крат. Эти различия наиболее существенны в той области значений входных отношений  $\rho(0)$ , при которых средние интенсивности волн в объеме взаимодействия сближаются. Именно при  $\rho \sim 1$  нелинейность в (1), обусловленная наличием пространственно зависящего знаменателя, наиболее сильна.

На первый взгляд, удивительным выглядит тот факт, что во всей области значений  $\rho(0)$  взаимодействие двух спекл-полей сводится к чисто экспоненциальному усилению с инкрементом  $\Gamma$ , т. е. к известному приближенному результату, который получают в модели плоских волн, принимая фотоотклик в упрощенном виде  $\delta n \sim \nabla I / (I_1 + I_2)$ , пропорциональном контрасту  $t$ . Однако этот факт имеет простое объяснение. Рост коэффициента связи вблизи  $t \sim 1$  для плоских волн, который, собственно, и отличает корректное рассмотрение

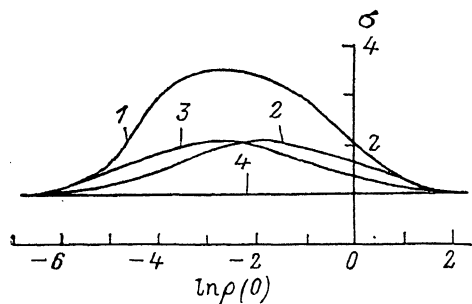


Рис. 2. Теоретические зависимости нормированного выходного отношения интенсивностей  $\sigma = \rho(L)/\rho(0) e^{\Gamma L}$  от  $\ln \rho(0)$  для двух плоских волн (1), усиливающейся плоской и опорной спекл-волны (2), усиливающейся спекл- и опорной плоской волнами (3) и двух спекл-волн (4) при  $\Gamma L = 4$ .

от упрощенного, обусловлен увеличением амплитуды первой гармоники решетки за счет пространственной осцилляции фотопроводимости (знаменатель формулы (1)). Для спекл-полей локально, в пределах областей, где интенсивности волн близки, увеличение амплитуды первой гармоники тоже происходит, однако эта добавка к поляризации среды  $\delta P_{1,2} \exp(iK_{1,2}\mathbf{R})$  приходится лишь на шумовую часть с ортогональной взаимодействующим волнам пространственной структурой.

В качестве предварительной экспериментальной проверки вывода о снижении эффективности взаимодействия для спекл-пучков сравнивались потери на фотондуцированное светорассеяние [10] для гладкого и спекл-пучков. Излучение Не—Cd лазера (0.44 мкм) пропускалось через кристалл  $\text{SrBaNb}_2\text{O}_6 : \text{Ce}$  (0.08 %) толщиной  $\approx 2.5$  мм примерно перпендикулярно его оптической оси, поляризация отвечала необыкновенной волне. Пропущенное через кристалл излучение после пространственного фильтра, отсекавшего волны светорассеяния, направление которых вблизи максимума отличалось от исходного примерно на  $30^\circ$  в воздухе, попадало на фотоприемник с целью регистрации временного хода пропускания. Сравнивались пропускания в начальный момент времени, когда светорассеяние еще не успевает развиться, и в установившемся режиме, когда волны светорассеяния забирают на себя заметную часть энергии исходной волны. Для гауссовского лазерного пучка установившееся значение пропускания составляло в наших условиях 22 % от начального. После внесения в пучок сильной фазовой пластинки и пропускания его с тем же диаметром и ориентацией и по тому же участку кристалла, что и в первом случае, потери на светорассеяние заметно снижались: установившееся значение пропускания составило 42 % от исходного. Поскольку в обоих экспериментах относительный уровень затравок светорассеяния был одинаков, то можно заключить, что большая устойчивость спекл-волны к светорассеянию обусловлена именно падением эффективности усиления шумовых волн. Более подробные исследования проводились в схеме двухвольнового взаимодействия.

На рис. 3 представлены экспериментальные зависимости выходного отношения интенсивностей  $\rho(L)$  от входного  $\rho(0)$  для двух плоских (кривая 1) и двух

спекл-волни (кривая 2), полученные в том же кристалле на длине волны 0.63 мкм Не—Не лазера для обсуждаемой в нашей теории геометрии взаимодействия. Экспериментальная схема для спекл-пучков отличалась от случая гладких пучков лишь внесением сильной фазовой пластинки, дающей необходимую для выполнения условия трехмерности большую расходимость  $\Delta\theta \sim 3 \cdot 10^{-2}$ , в непосредственной близости перед кристаллом. В результате средние направления распространения пучков, их диаметры, а значит, и средние интенсивности в области взаимодействия оставались практически теми же, что и для гладких пучков. Угол симметричного сведения пучков в воздухе составлял  $\theta_{12} \approx 35^\circ$ , так что  $\Delta\theta/\theta_{12} \ll 1$ .

Обсудим полученные результаты. Остановимся сначала на экспериментальной зависимости для плоских волн (верхняя кривая на рис. 3). Эксперимент показывает в первую очередь, что усиление в кристалле действительно не является экспоненциальным: с ростом относительной интенсивности усиливаемого сигнала эффективный инкремент резко падает. Этот факт, в частности, указывает на экспериментальные трудности в определении коэффициента усиления  $\Gamma$  для кристаллов с большим полным усилением  $\Gamma L$ . Как видно, даже при малом относительном уровне интенсивности усиливаемого сигнала  $\rho(0) \sim 10^{-2}$  в прямом эксперименте  $\Gamma L$  оказывается функцией исходной величины  $\rho(0)$ . Дальнейшее уменьшение  $\rho(0)$  приводит к тому, что интенсивность слабого сигнала на входе приближается к уровню спонтанных затравок шумов светорассеяния и точность измерений резко падает. Кроме того, увеличение входного отношения  $\rho(0)$  действительно приводит к падению полного усиления. Однако эксперимент показывает, что полное усиление может упасть почти в 20 раз, тогда как в теоретической модели для отклика вида (1) это падение не превышает четырех крат. Более того, согласовать результаты эксперимента для плоских волн с теоретической моделью для отклика вида (1) не удается ни при каком значении  $\Gamma L$  даже качественно. Если предположить, что в нашем кристалле  $\Gamma L \geq 4$ , т. е. теоретический максимум зависимости полного инкремента от  $\rho(0)$  находится в области  $\ln \rho(0) \leq -4$ , то измеренный в области  $\rho(0) \geq 1$  полный инкремент усиления оказывается по крайней мере в 4 раза меньше теоретического значения (рис. 2). Если, напротив, принять, что  $\Gamma L \sim 1$ , что отвечает экспериментальной асимптотике при  $\rho(0) \geq 1$ , то отличия окажутся еще более существенными. При  $\Gamma L \sim 1$  в теоретической модели слабый максимум полного инкремента расположен вблизи  $\ln \rho(0) \approx -1$  и по величине не превышает значения 2, что явно противоречит монотонной экспериментальной зависимости с перепадом от 4 до 1. Аналогичные трудности возникают, если для  $\Gamma L$  выбрать промежуточные значения. Все это позволяет сделать вывод, что по крайней мере для кристаллов SBN теоретическая модель отклика вида (1) неадекватно описывает процесс усиления сигналов, сравнимых по интенсивности с опорной волной. Заметим, что аналогичные выводы были сделаны ранее [10, 11] и для других фоторефрактивных сред. Выяснение причин такого рассогласования выходит за рамки настоящей работы.

Теперь о соотношении усиления плоских и спекл-пучков. Здесь уже можно констатировать качественное согласие теоретических предсказаний и экспериментальных результатов. Действительно, внесение спекл-структурь приводит к заметному, до трех раз, снижению эффективности взаимодействия. Причем наблюдается явная корреляция падения эффективности и наклона зависимости полного усиления (для плоских волн) от  $\ln \rho(0)$ . Поясним это более подробно. В той части экспериментальных зависимостей  $\rho(0) \geq 1$ , где полный инкремент не зависит от входного отношения интенсивностей, усиление можно считать практически экспоненциальным, что имеет место при линейной зависимости

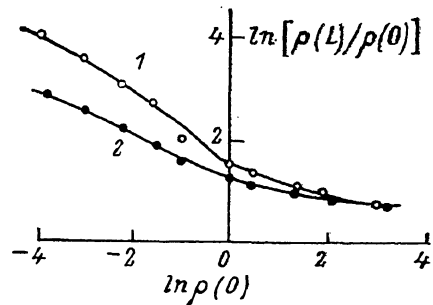


Рис. 3. Экспериментальные зависимости  $\ln [\rho(L)/\rho(0)]$  от  $\ln \rho(0)$  для двух плоских (1) и двух спекл-волн (2).

амплитуды голограммической решетки от контраста интерференционной структуры. В теории спектр-волн [7], и в частности, в представленной в этой работе ее версии (рис. 2) для линейного фотоотклика внесение спектр-структурой не приводит к падению эффективной силы голограммической решетки. Именно в этой области эффективности усиления плоских и спектр-волн практически одинаковы. Напротив, при  $\rho(0) < 1$  усиление даже для плоских волн не является экспоненциальным, т. е. профиль решетки не пропорционален профилю интерференционного члена. Эта нелинейность неизвестной пока природы и не описывается стандартной моделью отклика вида (1). Однако из рассуждений настоящей работы ясно, что при любом виде нелинейности отклика пространственный профиль возбуждаемых при считывании волн поляризации среды для случая взаимодействия спектр-волн отличается от их собственного пространственного профиля. Несовпадающая часть профиля волны поляризации практически не участвует во взаимодействии и потому является причиной падения его эффективности тем больше, чем сильнее нелинейность, т. е. степень отклонения от экспоненциального режима усиления, что и наблюдается в эксперименте.

Таким образом, в настоящей работе теоретически и экспериментально показано, что нелинейность фотоотклика приводит для спектр-волн к падению эффективности двухволнового энергообмена в фоторефрактивных кристаллах. Кроме того, экспериментально показано, что стандартная модель диффузационного отклика неадекватно описывает в кристалле SBN процесс усиления сигналов, превышающих интенсивность опорной волны.

Авторы благодарят А. В. Князькова, М. И. Лобанова и С. И. Степанова за ценные обсуждения.

#### Список литературы

- [1] Зельдович Б. Я., Шкунов В. В. // Изв. АН СССР. Сер. физ. 1984. Т. 48. № 8. С. 1545—1566.
- [2] Зельдович Б. Я., Пилипецкий Н. Ф., Шкунов В. В. Обращение волнового фронта. М.: Наука, 1985. 248 с.
- [3] Cronin-Golomb M., Fischer B., White J. O., Yariv A. // IEEE J. Quantum Electron. 1984. Vol. QE-20. P. 12—29.
- [4] Tschudi T., Herden A., Goltz J. et al. // IEEE J. Quantum Electron. 1986. Vol. QE-22. P. 1493—1502.
- [5] Мамаев А. В., Оразов К., Шкунов В. В., Яковлева Т. В. // Письма в ЖТФ. 1988. Т. 14. Вып. 9. С. 813—818.
- [6] Kukhtarev N. V., Markov V. B., Odulov S. G. et al. // Ferroelectrics. 1979. Vol. 22. P. 949—964.
- [7] Зельдович Б. Я., Шкунов В. В., Яковлева Т. В. // УФН. 1986. Т. 149. № 3. С. 511—549.
- [8] Стурман Б. И. // ЖТФ. 1978. Т. 48. Вып. 5. С. 1010—1020.
- [9] Зозуля А. А. // Квантовая электрон. 1988. Т. 15. № 12. С. 2527—2529.
- [10] Сочава С. Л., Степанов С. И. // ЖТФ. 1987. Т. 57. Вып. 9. С. 1763—1766.
- [11] Imbert B., Rajbenbach H., Mallick S. et al. // Opt. Lett. 1988. Vol. 13. N 4. P. 327—329.

Институт проблем механики АН СССР  
Москва

Поступило в Редакцию  
29 ноября 1989 г.  
В окончательной редакции  
9 апреля 1990 г.